

热处理对高硫化氢合成气一步法制甲硫醇 K_2MoO_4-NiO/SiO_2 催化剂结构及性能的影响

王琪¹, 郝影娟², 陈爱平², 杨意泉²

¹ 合肥工业大学化学工程学院, 可控化学与材料化工安徽省重点实验室, 安徽合肥 230009

² 厦门大学化学化工学院, 固体表面物理化学国家重点实验室, 醇醚酯化工清洁生产国家工程实验室, 福建厦门 361005

摘要: 在不同焙烧温度和焙烧气氛下对共浸渍法制备的 K_2MoO_4-NiO/SiO_2 催化剂进行热处理, 并采用 X 射线衍射、热重-差示扫描量热、氢气程序升温还原、拉曼光谱和电子自旋共振波谱等手段对催化剂进行了表征, 同时考察了催化剂催化高硫化氢合成气一步法制甲硫醇的性能。结果表明, 由于催化剂中所含柠檬酸氧化放热, 空气中焙烧的催化剂发生严重烧结。随着焙烧温度的升高, 八面体配位的 $Mo(O_h)$ 逐渐向四面体配位的 $Mo(T_d)$ 转变, 导致催化剂的还原能力降低, 配位不饱和 $Mo(CO)$ 吸附位减少, 因而 CO 转化率降低。甲硫醇的生成与 Mo-S-K 相密切相关, 而 MoS_2 晶相表面主要生成烃类。与氮气中焙烧的催化剂相比, 空气中焙烧的催化剂表面的 MoS_2 相较多, 而 Mo-S-K 相较少, 因此具有更高的烃类选择性和更低的甲硫醇选择性。

关键词: 钼镍基催化剂; 焙烧; 一步合成法; 硫化氢; 合成气; 甲硫醇

中图分类号: O643 文献标识码: A

Effect of Thermal Treatment on Structure and Catalytic Performance of K_2MoO_4-NiO/SiO_2 Catalyst for One-Step Synthesis of Methanethiol from High H_2S -Containing Syngas

WANG Qi^{1,*}, HAO Yingjuan², CHEN Aiping², YANG Yiquan²

¹ Anhui Key Laboratory of Controllable Chemical Reaction and Material Chemical Engineering, School of Chemical Engineering, Hefei University of Technology, Hefei 230009, Anhui, China

² State Key Laboratory of Physical Chemistry of Solid Surfaces, National Engineering Laboratory for Green Chemical Productions of Alcohols-Ethers-Esters, College of Chemistry and Chemical Engineering, Xiamen University, Xiamen 361005, Fujian, China

Abstract: K_2MoO_4-NiO/SiO_2 catalyst samples prepared by the co-impregnation method were calcined at different temperatures and atmosphere. X-ray diffraction, thermal gravimetric-differential scanning calorimetry, hydrogen temperature-programmed reduction, Raman spectroscopy, and electron spin resonance techniques were used to characterize the catalyst samples. The catalytic performance of the catalyst for one-step synthesis of methanethiol from high H_2S -containing syngas was evaluated. The results showed that the catalyst calcined in air sintered seriously because of the heat release from citric acid oxidation. With the increase of calcination temperature, octahedral coordination $Mo(O_h)$ gradually changed into tetrahedral coordination $Mo(T_d)$, which made the reduction of Mo^{6+} more difficult, decreased the number of CO adsorption sites (coordinatively unsaturated sites) of Mo, and at last led to the decrease of CO conversion. Methanethiol synthesis was closely related to the Mo-S-K phase, and hydrocarbon synthesis was related to the MoS_2 phase. Compared with the catalyst calcined in N_2 , there were more MoS_2 phase and less Mo-S-K phase on the surface of the catalyst calcined in air, resulting in the higher selectivity for hydrocarbon and lower selectivity for CH_3SH .

Key words: molybdenum-nickel-based catalyst; calcination; one-step synthesis; hydrogen sulfide; syngas; methanethiol

甲硫醇是生产蛋氨酸的一种重要化工原料, 目前工业上以甲醇和硫化氢为原料来合成。由含硫化

氢合成气一步法制备甲硫醇可以减少甲醇合成的步骤, 因而引起了人们的广泛关注。早在 1962 年, Olin

等^[1]就提出采用镍基和铬基催化剂催化含硫化氢合成气制备甲硫醇。随后许多研究者开展了这方面的研究,涉及的催化剂有Cs/Ni/Al₂O₃^[2],Mn/Ce/Al₂O₃^[3],K₂WO₄/Al₂O₃^[4], α -Al₂O₃^[5]和V₂O₅/TiO₂^[6]等。但这些催化剂大多需要在高压、低空速条件下进行反应,且活性普遍较低。本研究组开发的K₂MoS₄/SiO₂催化剂在较低的压力下即具有较高的催化含硫化氢合成气制备甲硫醇的活性^[7,8]。此后又发现Co和Ni促进的K₂MoO₄/SiO₂催化剂活性最高^[9,10]。研究还发现,焙烧温度和焙烧气氛对K₂MoO₄-NiO/SiO₂催化剂性能的影响较大。因此,本文采用X射线衍射(XRD)、热重-差示扫描量热(TG-DSC)、氢气程序升温还原(H₂-TPR)、拉曼光谱和电子自旋共振波谱(ESR)等手段对不同条件热处理后的K₂MoO₄-NiO/SiO₂催化剂进行表征,并考察其催化高硫化氢合成气制甲硫醇的性能,力图揭示催化剂活性相的形成与热处理条件之间的关系。

1 实验部分

1.1 催化剂的制备

将Ni(NO₃)₂·6H₂O(分析纯,国药集团上海化学试剂公司)和K₂MoO₄(自制)按摩尔比2:9配制成水溶液,向其中加入一定量的柠檬酸(分析纯,国药集团上海化学试剂公司)使沉淀溶解,并用氨水(分析纯,国药集团上海化学试剂公司)调节pH值为5,再将载体SiO₂(青岛海洋化工有限公司,BET比表面积260.0 m²/g)等体积浸渍于其中,24 h后于100 °C烘干,分别在空气中400,500和600 °C以及在氮气中500 °C焙烧2 h,自然冷却至室温,即制得K₂MoO₄-NiO/SiO₂催化剂样品。其中K₂MoO₄负载量以MoO₃计,为载体质量的25.0%;NiO负载量为载体质量的3%。

1.2 催化剂的表征

XRD表征在Panalytical X'Pert Pro型X射线衍射仪上进行。激发源为Cu K_α,工作电流30 mA,工作电压40 kV,扫描范围2θ=10°~70°。

TG-DSC测试在Netzsch公司STA 409 PC型综合热分析仪上进行。氧化铝坩埚为参考臂,气体流速40 ml/min,升温速率10 °C/min。

H₂-TPR表征在自组装TPR装置上进行。样品用量50 mg,催化剂先在氩气气氛中升温至300 °C,吹扫净化其表面,然后降至50 °C进行程序升温还原。还

原气为5% H₂-95% Ar混合气,流速20 ml/min,升温速率10 °C/min,升温范围50~800 °C。

Raman测试在Renishaw UV-Vis Raman System 1000R型仪器上进行。以Ar⁺激光器的514.5 nm线作为激光源,扫描范围100~1 200 cm⁻¹,扫描时间50 s,扫描次数2次。

ESR表征在Bruker ER200D-SRC型波谱仪上进行。输出功率5 mW,微波频率9.16 GHz,调制频率100 kHz,调制幅度6.0 Gpp,中心场3312.26 G(1 G≈10⁻⁴ T),扫描宽度2 000 G。

1.3 催化剂的评价

在不锈钢固定床反应器中进行催化剂活性的评价。催化剂装填量为0.5 mL,反应前催化剂先经氢气在400 °C还原8 h。原料气中H₂:CO:H₂S:N₂体积比为5:5:10:1,GHSV=3 000 h⁻¹,反应在0.2 MPa,300 °C条件下进行。反应物和产物由气相色谱仪(GC-950型,上海海欣色谱仪器公司)在线分析。TCD检测器(TDX-01碳分子筛柱,柱长2 m,H₂为载气)用于分析N₂,CO和CO₂;FID检测器(GDX-103柱,柱长2 m,N₂为载气)用于分析烃类和硫醇;FPD检测器(HP Plot Q毛细管色谱柱,柱长30 m,管径0.53 mm,N₂为载气)用于分析含硫化合物。反应8 h后自然降温,再切换成氮气吹扫,将催化剂密封保存,即为硫化态催化剂。

2 结果与讨论

2.1 XRD结果

不同温度和气氛中焙烧的K₂MoO₄-NiO/SiO₂催化剂的XRD谱如图1所示。由图可见,未焙烧的催化剂在2θ=20°~30°处的宽包峰为载体SiO₂的衍射峰,未检测出其它明显的衍射峰。这说明活性组分在载体表面较分散,未形成明显的晶相。当催化剂在空气中400 °C焙烧后,出现了较弱的K₂MoO₄衍射峰;进一步提高焙烧温度,其衍射峰明显增强,表明K₂MoO₄粒径明显长大。当催化剂在氮气中500 °C焙烧后,除K₂MoO₄衍射峰外,还检测出有K₂Mo₂O₇衍射峰。与空气中500 °C焙烧的催化剂相比,其K₂MoO₄衍射峰明显减弱。虽然催化剂中NiO负载量高达3%,但XRD中未检测出明显的NiO或NiMoO₄的衍射峰。这可能是由于NiO与K₂MoO₄在催化剂表面作用形成了无定形Ni-O-Mo物种。

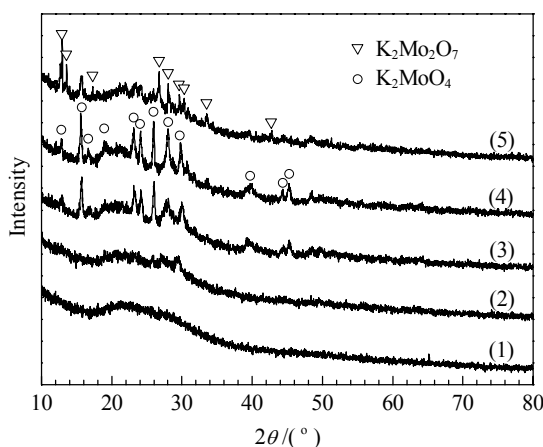


图 1 不同温度和气氛中焙烧的 $\text{K}_2\text{MoO}_4\text{-NiO/SiO}_2$ 催化剂的 XRD 谱

Fig. 1. XRD patterns of $\text{K}_2\text{MoO}_4\text{-NiO/SiO}_2$ catalysts calcined at different temperatures and atmosphere. (1) Without calcination; (2) 400 °C in air; (3) 500 °C in air; (4) 600 °C in air; (5) 500 °C in N_2 .

2.2 TG-DSC 结果

空气和氮气中 $\text{K}_2\text{MoO}_4\text{-NiO/SiO}_2$ 催化剂的 TG-DSC 曲线如图 2 所示。可以看出，催化剂在两种气氛中的 TG 曲线相似。在 100 °C 附近出现的失重峰对应于催化剂表面吸附水的脱除；200~400 °C 处的失重峰对应于柠檬酸盐和硝酸盐的分解^[11]。对比两

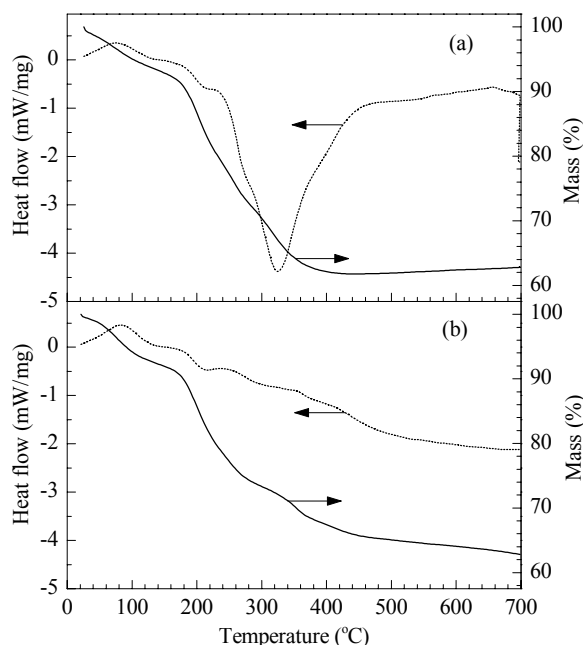


图 2 空气和氮气中 $\text{K}_2\text{MoO}_4\text{-NiO/SiO}_2$ 催化剂的 TG-DSC 曲线

Fig. 2. TG-DSC curves of $\text{K}_2\text{MoO}_4\text{-NiO/SiO}_2$ catalyst detected in air (a) and in N_2 (b).

种气氛中催化剂的 DSC 曲线可以看出，催化剂在氮气中升温，放热曲线非常平稳；而在空气中升温，在 330 °C 附近出现了一个明显的放热峰，这可能对应于未完全分解的柠檬酸中碳的燃烧。正是由于这种放热，造成催化剂在空气中焙烧时局部过热，导致催化剂表面活性物种晶粒长大。

2.3 H₂-TPR 结果

图 3 为不同温度和气氛中焙烧的 $\text{K}_2\text{MoO}_4\text{-NiO/SiO}_2$ 催化剂的 H_2 -TPR 谱。可以看出，空气中 400 °C 焙烧的催化剂在 507, 648 和 751 °C 出现三个耗氢峰。其中 507 °C 的耗氢峰包含八面体配位的 $\text{Mo}(\text{O}_h)$ 和 Ni^{2+} 的还原^[10, 12]，而 670 和 750 °C 的耗氢峰则对应于四面体配位的 $\text{Mo}(\text{T}_d)$ 的还原^[10]。随着焙烧温度的升高，在 340 °C 附近出现一个小还原峰。该峰对应于高度分散的小晶粒 NiO 的还原^[10]，表明高温处理导致 NiO 晶粒长大析出。还可以看出，随着焙烧温度的升高， $\text{Mo}(\text{O}_h)$ 的还原峰逐渐减小，而 $\text{Mo}(\text{T}_d)$ 的还原峰逐渐增大，表明 Mo 物种由易还原的 $\text{Mo}(\text{O}_h)$ 向难还原的 $\text{Mo}(\text{T}_d)$ 转变。图 1 XRD 结果表明，Mo 物种的粒径也随焙烧温度的升高而增大，这进一步降低了 Mo 的还原能力，也将导致 $\text{Mo}(\text{T}_d)$ 的还原峰温逐渐升高。当催化剂在氮气中焙烧时，由于催化剂中含有一定量的柠檬酸，升温过程中分解形成的还原气氛已将催化剂部分还原，且柠檬酸的添加可促使 Ni 和

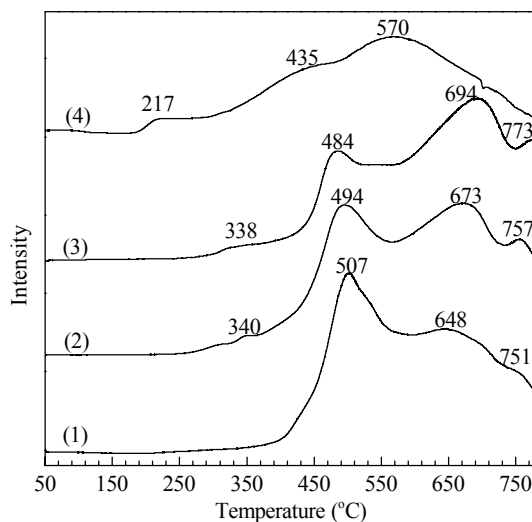


图 3 不同温度和气氛中焙烧的 $\text{K}_2\text{MoO}_4\text{-NiO/SiO}_2$ 催化剂的 H_2 -TPR 谱

Fig. 3. H_2 -TPR profiles of $\text{K}_2\text{MoO}_4\text{-NiO/SiO}_2$ catalysts calcined at different temperatures and atmosphere. (1) 400 °C in air; (2) 500 °C in air; (3) 600 °C in air; (4) 500 °C in N_2 .

Mo物种的分散^[13],活性物种仍能保持较小的粒径,因此催化剂更易被还原,且对应还原峰面积较小。

2.4 Raman结果

图4为氧化态和硫化态K₂MoO₄-NiO/SiO₂催化剂的Raman光谱。由图4(a)可见,空气中焙烧的氧化态催化剂在315 cm⁻¹处出现一个散射峰,在800~920 cm⁻¹处出现一组峰。Cheng等^[14]指出,在负载型钼基催化剂中四面体结构的MoO₄²⁻在317, 843和896 cm⁻¹处有明显的特征峰,而八面体结构的Mo₇O₂₄⁶⁻物种在219, 360, 474, 896和941 cm⁻¹处出现特征峰。Jeziorkowski等^[15]认为,Mo=O端基振动峰(~900 cm⁻¹)位置与Mo物种的聚集度成正比,即Mo物种的聚集度越小,振动峰波数也越小。因此,图4(a)中315, 820和887 cm⁻¹对应于四面体结构Mo(T_d)的Mo=O弯曲、对称和反对称振动,而850和909 cm⁻¹的散射峰对应于低聚集态八面体结构Mo(O_h)的Mo=O振动。

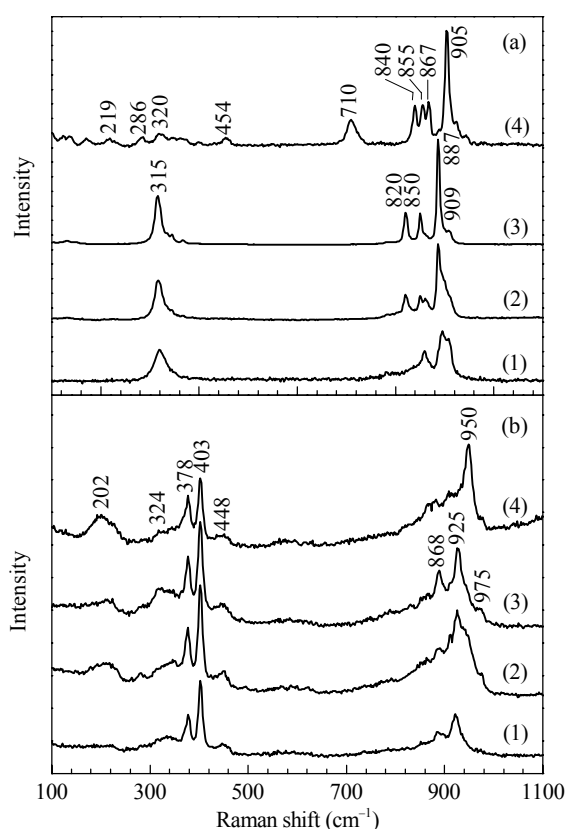


图4 氧化态和硫化态K₂MoO₄-NiO/SiO₂催化剂的Raman光谱

Fig. 4. Raman spectra of oxidized (a) and sulfided (b) K₂MoO₄-NiO/SiO₂ catalyst calcined at different temperatures and atmosphere. (1) 400 °C in air; (2) 500 °C in air; (3) 600 °C in air; (4) 500 °C in N₂.

随着焙烧温度的升高,Mo(O_h)的散射峰(909 cm⁻¹)逐渐减弱,而Mo(T_d)的散射峰(887 cm⁻¹)逐渐增强,即Mo(O_h)物种逐渐转变为Mo(T_d)。这与H₂-TPR结果一致。由XRD结果可知,在氮气中焙烧后,催化剂表面主要检测出K₂Mo₂O₇物种的衍射峰。从Raman结果同样可以看出,氮气中焙烧的催化剂Mo=O端基振动峰在905 cm⁻¹,钼物种仍处于低聚集态,且主要为Mo(O_h)结构。同时在710 cm⁻¹处出现一个可归属于聚钼物种中桥氧(Mo—O—Mo或Mo—O—K)的反对称伸缩振动峰^[16]。所有催化剂的Raman谱中均没有检测出NiO(497 cm⁻¹)^[17]或NiMoO₄(940, 880, 815和360 cm⁻¹)^[18]的特征峰。这说明Ni²⁺部分配位到钼酸盐的结构中,而没有形成明显的晶相^[19]。

由图4(b)可以看出,硫化态催化剂在378和403 cm⁻¹处的散射峰可归属于MoS₂的振动^[20,21],202, 324和448 cm⁻¹处的散射峰分别对应于Mo—O振动、Mo—S变形振动和桥硫μ-S键的振动。与氧化态催化剂相比,硫化态催化剂的Mo=O端基振动峰向高频方向移动。这可能是因为MoO₄²⁻物种中的氧部分被硫取代,导致Mo上电子云密度增加,Mo=O键能增大。可以推论,Mo=O邻位的氧被硫取代得越多,Mo=O端基振动峰向高频方向移动得越大。因此,868和925 cm⁻¹峰可归属于MoO_xS_{4-x}²⁻物种端基Mo=O对称和反对称伸缩振动^[22]。随着空气中焙烧温度的升高,MoS₂振动峰明显增强,同时868 cm⁻¹处振动峰也增强。这说明在空气中高温焙烧处理有利于MoS₂的形成,但不利于硫的取代。因此,MoO_xS_{4-x}²⁻物种中的含硫量较低,表面的Mo—S—K相较少。氮气中焙烧的催化剂表面Mo=O端基振动峰向高频方向移动,因而硫取代较多。同时,MoO_xS_{4-x}²⁻物种振动峰强度也相对较高,说明在氮气中焙烧的催化剂较易被还原硫化,催化剂表面钼硫氧物种较多,形成了较多的Mo—S—K相。

2.5 ESR结果

图5为硫化态K₂MoO₄-NiO/SiO₂催化剂的ESR谱。可以看出,图中出现g值为1.90, 2.00和2.15三个共振信号。Park等^[23]将g=1.93指认为与载体相互作用的氧包围oxo-Mo⁵⁺的信号,g=2.00为硫包围sulf-Mo⁵⁺或硫氧物种包围oxosulf-Mo⁵⁺的信号,g=2.11为与Ni相互作用的Mo⁵⁺的共振信号。Woo等^[24]研究CoMo/Al₂O₃催化剂时,将g=2.12和2.16分别

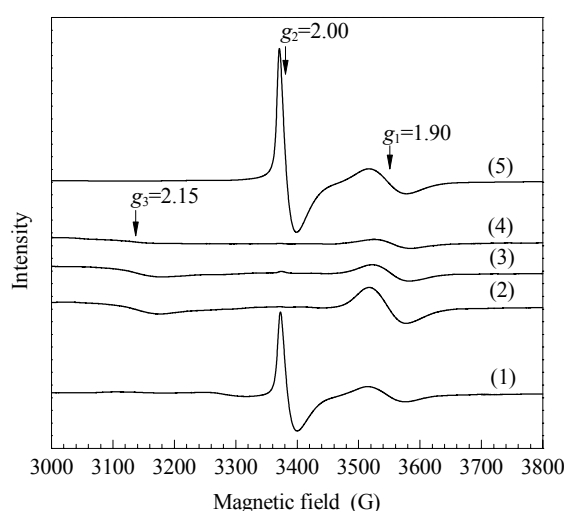
图 5 硫化态 $\text{K}_2\text{MoO}_4\text{-NiO/SiO}_2$ 催化剂的 ESR 谱

Fig.5. ESR spectra of sulfided $\text{K}_2\text{MoO}_4\text{-NiO/SiO}_2$ catalyst calcined at different temperatures and atmosphere. (1) Without calcination; (2) 400 °C in air; (3) 500 °C in air; (4) 600 °C in air; (5) 500 °C in N_2 .

指认为 $\text{Mo}^{5+}\text{-S-Co}^{2+}$ 和 Co-S 物种的共振信号。但当 K 存在时, oxo- Mo^{5+} 的 g 值由 1.93 降至 1.91^[25]。因此, $g_1 = 1.90$ 和 $g_2 = 2.00$ 的共振峰可分别归属于 oxo- Mo^{5+} 和 oxosulf-Mo⁵⁺ 的共振信号, $g_3 = 2.15$ 的宽峰包含 $\text{Mo}^{5+}\text{-S-Ni}^{2+}$ 和 Ni-S 物种的共振信号。可以看出, 空气中焙烧的催化剂中主要检测出 oxo- Mo^{5+} 的信号, oxosulf-Mo⁵⁺ 信号较弱; 随着焙烧温度的升高, oxo- Mo^{5+} 含量逐渐减少。这说明空气中焙烧的催化剂较难被还原和硫化, 且随着焙烧温度的升高, Mo 物种更难被还原。未焙烧和在氮气中焙烧的催化剂表面 oxosulf-Mo⁵⁺ 的共振信号较强, 说明催化剂表面存在大量硫包围的钼物种, 催化剂易被还原和硫化。这与 Raman 结果一致。

2.6 催化剂活性评价结果

表 1 为焙烧条件对 $\text{K}_2\text{MoO}_4\text{-NiO/SiO}_2$ 催化剂催化合成甲硫醇的性能的影响。可以看出, 随着焙烧温度的升高, 空气中焙烧的催化剂的比表面积迅速

减小, 而氮气中 500 °C 焙烧的催化剂的比表面积仍保持较高水平。这说明在空气中焙烧时, 柠檬酸氧化燃烧剧烈放热导致催化剂严重烧结。在氮气中焙烧的催化剂的活性与未焙烧的催化剂相似, 明显高于空气中焙烧的催化剂。随着在空气中焙烧温度的升高, 催化剂上 CO 转化率和甲硫醇选择性逐渐降低, COS 选择性却逐渐升高。

由 ESR 和 H₂-TPR 结果可知, 随着催化剂在空气中焙烧温度的升高, 其表面活性物种越来越难被还原, 因而硫化态催化剂表面低价态的配位未饱和的 Mo 位 ($\text{Mo}(\text{CUS})$) 减少, 而 CO 的吸附与 Mo(CUS) 位密切相关^[26], 所以高温焙烧的催化剂上 CO 转化率明显下降。

Mul 等^[6]和 Chen 等^[25]研究表明, 在含硫化氢合成气制甲硫醇过程中, CO 先与 H_2S 反应生成 COS, 然后 COS 再加氢生成甲硫醇。本文中随着催化剂焙烧温度的升高, 甲硫醇选择性逐渐下降, 而 COS 选择性逐渐升高, 符合上述反应过程, 且反应过程中 COS 的生成是一个快反应, 而 COS 加氢生成甲硫醇是速率控制步骤。经过高温焙烧后, 催化剂的加氢能力有所减弱。Li 等^[27]指出, 在硫化催化剂上, 碱金属可阻止 CO 的解离吸附并毒化加氢位, 从而抑制 CO 的甲烷化。我们前期的研究结果表明, 烃类的生成与 MoS_2 有关, 而甲硫醇的生成与 Mo-S-K 相密切相关^[28]。本文中 Raman 和 ESR 结果表明, 在空气中随着焙烧温度的升高, MoS_2 含量逐渐增加, 且 $\text{MoO}_{x}\text{S}_{4-x}^{2-}$ 物种中的含硫量逐渐降低, 催化剂表面的 Mo-S-K 相逐渐减少。相反, 在氮气中焙烧的催化剂表面有大量的 oxosulf-Mo⁵⁺ 物种, 催化剂中的 $\text{MoO}_{x}\text{S}_{4-x}^{2-}$ 物种较丰富且含硫量较高, 催化剂表面形成了较多的 Mo-S-K 相^[9]。因此, 随着空气中焙烧温度的升高, 催化剂上甲硫醇选择性迅速下降, 但甲烷选择性却有所升高。而氮气中焙烧的催化剂上甲硫

表 1 焙烧条件对 $\text{K}_2\text{MoO}_4\text{-NiO/SiO}_2$ 催化剂催化合成甲硫醇性能的影响**Table 1** Effect of calcination conditions on catalytic performance of $\text{K}_2\text{MoO}_4\text{-NiO/SiO}_2$ for methanethiol synthesis

Calcination temperature (°C)	Atmosphere	$A_{\text{BET}}/(\text{m}^2/\text{g})$	CO conversion (%)	Selectivity (%)			
				CH_4	CH_3SH	COS	CO_2
—	—	125.3	72.6	0.1	38.7	17.8	43.4
400	air	72.0	68.3	0.1	35.7	21.4	42.8
500	air	34.8	56.5	0.2	30.8	30.7	38.3
600	air	13.5	30.2	0.3	19.0	64.0	16.7
500	N_2	107.4	67.3	0.1	37.9	19.6	42.4

Reaction conditions: $\text{H}_2\text{:CO:H}_2\text{S:N}_2 = 5:5:10:1(V/V)$, GHSV = 3000 h^{-1} , 0.2 MPa, 300 °C, 8 h.

醇选择性明显高于空气中焙烧的催化剂.

3 结论

焙烧温度和焙烧气氛对高 H₂S 合成气制甲硫醇 K₂MoO₄-NiO/SiO₂ 催化剂的影响较大. 随着空气中焙烧温度的升高, 催化剂表面 Mo 由 Mo(O_h) 向 Mo(T_d) 转化, 导致 Mo⁶⁺ 难以还原, 表面 Mo(CUS) 位较少; 同时, Mo-S-K 活性相也逐渐减少, 因此 CO 转化率和 CH₃SH 选择性逐渐降低. 氮气中焙烧的催化剂受焙烧温度的影响较小. 本文研究的催化剂不需焙烧处理即具有较高的催化活性, 但 CO₂ 选择性很高, 因此需对甲硫醇及 CO₂ 的生成机理进行深入探讨, 以降低 CO₂ 选择性, 提高甲硫醇选择性.

致谢 感谢德国 Degussa GmbH 公司给予的经费资助.

参 考 文 献

- 1 Olin J F, Buchholz B, Goshorn R H. US 3 070 632. 1962
- 2 Buchholz B. US 4 410 731. 1983
- 3 Haines P G, Hill L. US 4 449 006. 1984
- 4 Barrault J, Boulinguez M, Forquy C, Maurel R. *Appl Catal*, 1987, **33**: 309
- 5 Zhang B J, Taylor S H, Hutchings G J. *New J Chem*, 2004, **28**: 471
- 6 Mul G, Wachs I E, Hirschon A S. *Catal Today*, 2003, **78**: 327
- 7 Yang Y Q, Yuan Y Z, Dai S J, Wang B, Zhang H B. *Catal Lett*, 1998, **54**: 65
- 8 Dai S J, Yang Y Q, Yuan Y Z, Tang D L, Lin R C, Zhang H B. *Catal Lett*, 1999, **61**: 157
- 9 王琪, 陈爱平, 谢春芳, 郑泉兴, 方维平, 袁友珠, 张鸿斌, 杨意泉. 化学学报(Wang Q, Chen A P, Xie Ch F, Zheng Q X, Fang W P, Yuan Y Zh, Zhang H B, Yang Y Q. *Acta Chim Sin*), 2004, **62**: 2297
- 10 王琪, 郝影娟, 陈爱平, 杨意泉. 化学反应工程与工艺 (Wang Q, Hao Y J, Chen A P, Yang Y Q. *Chem React Eng Technol*), 2009, **25**: 84
- 11 鲍骏, 卞国柱, 伏义路. 催化学报 (Bao J, Bian G Zh, Fu Y L. *Chin J Catal*), 1999, **20**: 645
- 12 Feng L J, Li X G, Dadyborjur D B, Kugler E L. *J Catal*, 2000, **190**: 1
- 13 Rinaldi N, Usman, Al-Dalama K, Kubota T, Okamoto Y. *Appl Catal A*, 2009, **360**: 130
- 14 Cheng C P, Schrader G L. *J Catal*, 1979, **60**: 276
- 15 Jeziorski H, Knözinger H. *J Phys Chem*, 1979, **83**: 1166
- 16 Wang H F, Lian Y X, Li Y N, Fang W P, Yang Y Q. *Catal Commun*, 2009, **10**: 1864
- 17 Dufresne P, Payen E, Grimblot J, Bonnelle J P. *J Phys Chem*, 1981, **85**: 2344
- 18 卞国柱, 韩波, 伏义路. 物理化学学报 (Bian G Zh, Han B, Fu Y L. *Acta Phys-Chim Sin*), 1999, **15**: 1001
- 19 Nikolova D, Edreva-Kardjieva R, Giurcinca M, Meghea A, Vakros J, Voyatzis G A, Kordulis C. *Vib Spectrosc*, 2007, **44**: 343
- 20 Chang C H, Chan S S. *J Catal*, 1981, **72**: 139
- 21 Schrader G L, Cheng C P. *J Catal*, 1983, **80**: 369
- 22 Payen E, Kasztelan S, Houssenbay S, Szymanski R, Grimblot J. *J Phys Chem*, 1989, **93**: 6501
- 23 Park Y C, Rhee H K. *Korean J Chem Eng*, 1998, **15**: 411
- 24 Woo S I, Kim S I, Kim C H. *Korean J Chem Eng*, 1995, **12**: 497
- 25 Chen A P, Wang Q, Li Q L, Hao Y J, Fang W P, Yang Y Q. *J Mol Catal A*, 2008, **283**: 69
- 26 Fu Y L, Zhao F G. *Catal Lett*, 1992, **12**: 117
- 27 Li D B, Zhao N, Qi H J, Li W H, Sun Y H, Zhong B. *Catal Commun*, 2005, **6**: 674
- 28 杨意泉, 袁友珠, 张鸿斌. 厦门大学学报(自然科学版) (Yang Y Q, Yuan Y Zh, Zhang H B. *J Xiamen Univ (Natur Sci)*), 1993, **32**: 447